



АСТРОНОМИЯ В КАРЕЛИИ

№ 11 (48)
ноябрь 2015 года



На правах приложения к Астрономической газете

Издание астрономического клуба ПетрГУ «Астерион»



**АРТЁМ
НОВИЧОНОК**
г. Петрозаводск
**ЯРКИЙ БОЛИД
НАД ПЕТРОЗАВОДСКОМ**

15 февраля 2013 года ярчайший болид пронёсся в небе над Челябинском. Большой массив данных о нём был получен благодаря видеорегистраторам автовладельцев, которые оказались случайными свидетелями удивительного события. Записи камер наружного наблюдения и видеорегистраторов помогут получить немало информации и о болиде, который наблюдался вечером 28 октября 2015 г. над Петрозаводском.

Многие жители столицы Карелии стали свидетелями его полёта, также болид зафиксировали несколько камер наружного наблюдения, установленные интернет-провайдерами «Ситилинк» и «Сампо» в Петрозаводске и в Кондопоге. Кроме того, в нашем распоряжении есть несколько видеозаписей с автомобильных видеорегистраторов.

Благодаря этим данным установлено, что болид появился на нашем небе в 21:55 МСК. Он наблюдался на протяжении по крайней мере двух секунд, после чего постепенно угасающий яркий след даже в условиях сильной городской засветы был виден ещё несколько секунд. Яркость объекта была сравнима с яркостью полной Луны (вероятно, в несколько раз слабее), а высота над горизонтом – лишь около 10° (что свидетельствует о значительной физической удалённости события).

В настоящее время мы проводим комплексные исследования описанного болида, описания результатов этой работы обязательно будут представлены на страницах



Болид в Петрозаводске (площадь Кирова)



Вечер 2 октября 2015 года



Вечер 6 октября 2015 года



Вечер 7 октября 2015 года



**ВЛАДИМИР
РОМАНОВ**
г. Петрозаводск

ФАЗОВЫЕ УГЛЫ И ФАЗЫ

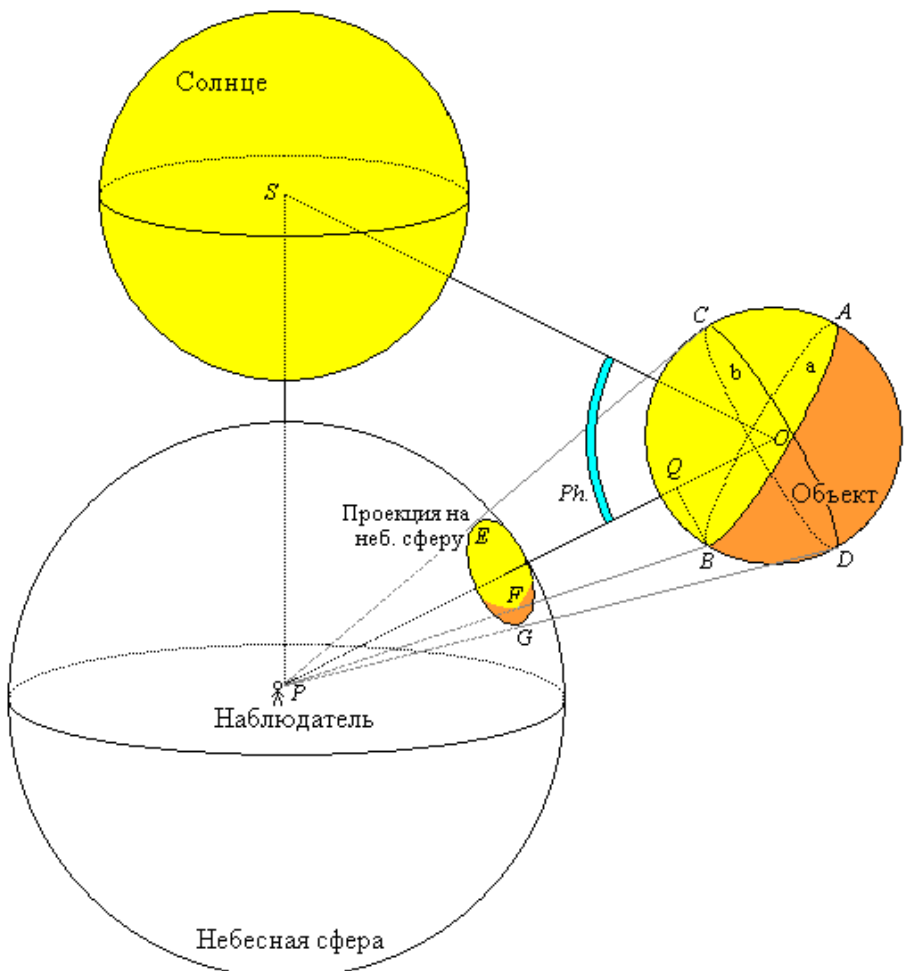
Поверхность любого объекта в Солнечной системе можно разделить на две стороны. Одна из них обращена в сторону Солнца и является освещаемой Солнцем в данный момент времени. Другая сторона обращена в сторону от Солнца и является не освещаемой Солнцем в данный момент времени. Поверхность объекта можно разделить на две стороны и по другому принципу. Одна из этих сторон обращена в сторону наблюдателя (находящегося, например, на Земле) и является видимой им в данный момент времени. Другая сторона обращена в сторону от наблюдателя и является невидимой им в данный момент времени. Важно отметить следующее: в общем случае сторона объекта, видимая наблюдателем, может содержать и часть освещённой стороны, и часть неосвещённой стороны. Таким образом, наблюдатель видит объект частично освещенным.

Любой объект (небесное тело), находящийся далеко от наблюдателя, воспринимается им спроектированным на некую воображаемую сферу (небесную сферу), в центре которой он сам находится. Если наблюдатель видит объект частично освещенным, на небесную сферу проецируются как освещенная часть видимой стороны объекта, так и неосвещенная часть видимой стороны объекта. Размеры объектов, проецированных на небесную сферу, выражаются в угловых единицах. Отношение углового диаметра освещённой части объекта к угловому диаметру всего объекта называется видимой фазой объекта.

Фазовым углом является угол «наблюдатель» – «объект» – «Солнце». Выведем связь фазы и фазового угла некоторого объекта. Для этого нам понадобится рисунок.

На данном рисунке: P – наблюдатель, O – объект (центр), S – Солнце (центр). Угол $\angle POS = Ph$ – фазовый угол. Круг a перпендикулярен линии SO и разделяет объект на две части: поверхность одной из них освещена, а другой не освещена. Диаметр AB проходит через круг a и лежит в одной плоскости с линией SO ; AB перпендикулярен SO . Круг b перпендикулярен линии PO и разделяет объект на две другие части: поверхность одной из них видна наблюдателем, а поверхность другой невидима наблюдателем. Диаметр CD проходит через круг b и лежит в одной плоскости с линией PO ; CD перпендикулярен PO . Так как линии SO и PO , в свою очередь, тоже лежат в одной плоскости, то и диаметры AB и CD будут лежать в этой же плоскости.

Точка E – точка пересечения линии PC с небесной сферой. Точка F – точка пересечения линии PB с небесной сферой. Точка G – точка пересечения линии PD с небесной сферой. Дуга EF – угловой диаметр освещённой части объекта, а дуга EG – уг-



Фазовый угол и фаза

ловой диаметр всего объекта, поэтому видимая фаза объекта $\phi = \frac{\text{угол } EF}{\text{угол } AB}$. Очевидно, что угловая величина дуги EF равна углу $\angle EPF$, а угловая величина дуги EG равна углу $\angle EPG$, поэтому фазу можно выразить так: $\phi = \frac{\angle EPF}{\angle EPG}$. Очевидно, что $\angle EPF = \angle CPB$, $\angle EPG = \angle CPD$, поэтому $\phi = \frac{\angle CPB}{\angle CPD}$. В свою очередь, угол $\angle CPB$ можно выразить как сумму $\angle CPB = \angle CPO + \angle OPB$, а угол $\angle CPD$ равен $\angle CPD = \angle CPO + \angle OPD = 2\angle CPO$ (потому что $\angle CPO = \angle OPD$), тогда фаза будет выражена так: $\phi = \frac{\angle CPB}{\angle CPD} = \frac{(\angle CPO + \angle OPB)}{2\angle CPO}$. Осталось найти углы $\angle OPB$ и $\angle CPO$.

Если опустить перпендикуляр из точки B на линию PO , то его длина будет составлять $BQ = OB \sin(\angle OPB) = r_0 \sin(\angle OPB)$ (где r_0 – радиус объекта). В свою очередь, $\angle OPB = \angle SOB - \angle SOP = 90^\circ - Ph$, тогда $BQ = r_0 \sin(90^\circ - Ph) = r_0 \cos(Ph)$. Расстояние от точки O до основания перпендикуляра BQ будет равно $OQ = OB \cos(\angle OPB) = r_0 \cos(90^\circ - Ph) = r_0 \sin(Ph)$. Расстояние OP (от наблюдателя до центра объекта) обозначим буквой Δ , тогда расстояние от наблюдателя до основания перпендикуляра BQ равняется $\Delta - OQ$. И тогда $\angle OPB$ выразится следующим образом: $\angle OPB = \arctg(BQ/\Delta - OQ) = \arctg((r_0 \cos(Ph)) / (\Delta - r_0 \sin(Ph)))$

Угол $\angle CPO$ выразить проще: $\angle CPO = \arctg(CO/PO) = \arctg(r_0/\Delta)$. Таким образом, видимая фаза объекта выражается

следующим образом:

$$\phi = \frac{1}{2} \left(1 + \frac{\angle OPB}{\angle CPO} \right) = \frac{1}{2} \left(1 + \frac{\arctg((r_0 \cos(Ph)) / (\Delta - r_0 \sin(Ph)))}{\arctg(r_0 / \Delta)} \right) = \\ = \frac{1}{2} \left(1 + \frac{\arctg(((r_0 / \Delta) \cos(Ph)) / (1 - (r_0 / \Delta) \sin(Ph)))}{\arctg(r_0 / \Delta)} \right)$$

Далее учтем, что, как правило, $\Delta \gg r_0$. Обозначим $r_0/\Delta = k$ и вычислим предел:

$$\lim_{k \rightarrow 0} \left(\frac{\arctg((k \cos(Ph)) / (1 - k \sin(Ph)))}{\arctg(k)} \right) = \\ = \lim_{k \rightarrow 0} \left(\frac{(k \cos(Ph)) / (1 - k \sin(Ph))}{k} \right) = \\ = \lim_{k \rightarrow 0} \left(\frac{\cos(Ph)}{1 - k \sin(Ph)} \right) = \cos(Ph)$$

Тогда соотношение между наблюдаемой фазой объекта и фазовым углом:

$$\phi = \frac{1 + \cos(Ph)}{2} = \cos^2(Ph/2)$$

Задачи

1) Период обращения Луны вокруг Земли (сидерический месяц) равен 655.7 часа. Период обращения Земли вокруг Солнца составляет 8765.8 часа. Какую фазу будет иметь Луна в «возрасте» 48 часов?

2) Как известно, у внутренних планет Солнечной системы наблюдаются фазы, как у Луны. А наблюдаются ли фазы у внешних планет? Полученное нами соотношение не содержит ли это запрета. Определите, какая минимальная фаза может наблюдаваться у Юпитера? Радиус его орбиты примите равным 5.2 а.е.



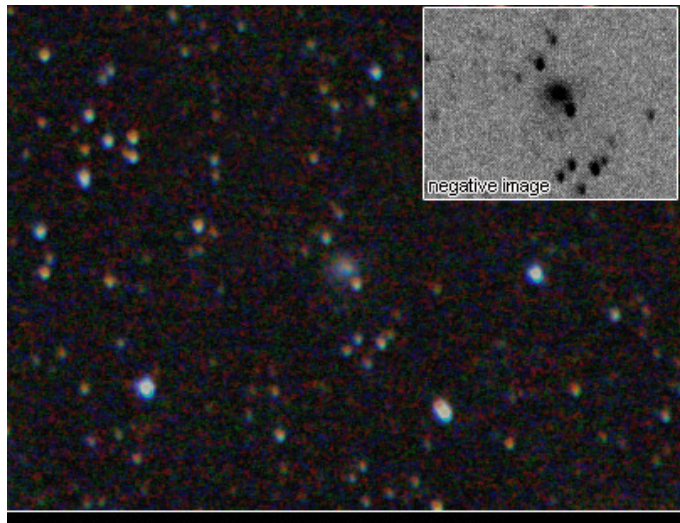
**АПТЁМ
НОВИЧОНОК**
г. Петрозаводск

C/2013 X1 (PANSTARRS): ЯРКАЯ КОМЕТА БУДУЩЕГО ЛЕТА

Комета **C/2013 X1 (PANSTARRS)** была обнаружена 4 декабря 2013 года на обзоре неба PANSTARRS (Гавайские острова, США), когда имела яркость около 19^m, крошечную кому диаметром 6" (35 тыс. км) и коротенький хвостик длиной 2". К концу 2014 года комета достигла яркости 16^m, и мы начали её ПЗС-наблюдения. Первую попытку визуальных наблюдений кометы я предпринял 22 августа в полях под Пухтой, однако ничего не удалось увидеть (комета слабее 13.3^m). Фотографическое наблюдение, произведённое спустя сутки в Кончезере, засвидетельствовало блеск 13.9 Tri-G. Наконец, 7 октября, в периоды локального ослабления мощного полярного сияния, я сумел увидеть C/2013 X1 впервые как объект с блеском около 12 зв. вел. Наблюдения от 3-4 ноября показали, что яркость хвостатой странницы выросла до 11.3...11.4^m, при этом она хорошо видна с помощью 20-см рефлектора, демонстрируя небольшую (1.1'-1.2', что соответствует 90 тыс. км) округлую, умеренно сконденсированную (DC=4) и очень опрятную кому.

В карельских широтах комета будет иметь неплохие условия видимости вплоть до первой половины февраля следующего года, двигаясь по созвездиям Персея, Андромеды, Пегаса и Рыб. К концу этого периода хвостатая гостья должна увеличить свою яркость примерно до 10^m (точнее, практически всё увеличение произойдёт до начала декабря этого года, т.к. после C/2013 X1 локально будет отдаляться от нашей планеты и, несмотря на приближение к Солнцу, вряд ли увеличит свою видимую яркость; локальное сближение кометы и Земли на 1.5 а.е. произойдёт в начале декабря, после чего к началу марта следующего года расстояние достигнет 2.4 а.е., а затем вновь начнёт сокращаться). Стоит добавить, что с февраля следующего года C/2013 X1 уже никогда не будет видна в Карелии. Со второй половины февраля и до середины апреля хвостатая странница будет недоступна для наблюдений из-за малой элонгации; 20 апреля 2016 года она пройдёт перигелий на расстоянии 1.3 а.е. от Солнца. Яркость будет снова заметно расти с весны 2016 года и достигнет максимума около 7^m спустя два месяца после перигелия, в середине июня 2016 года, когда C/2013 X1 сблизится с Землёй на 0.64 а.е. Близ максимума, в первой половине июня, C/2013 X1 можно будет наблюдать низко над горизонтом на юге России.

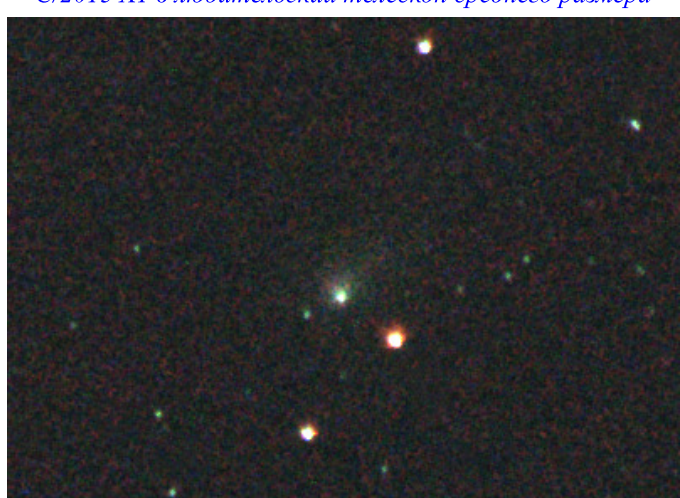
P.S. К концу ноября блеск C/2013 X1 достиг 10^m, в результате чего комета вплотную приблизилась по яркости к C/2014 S2. После наблюдений в начале месяца я, однако, не смог провести их в ноябре ещё раз из-за кошмара нескончаемой пасмурной погоды, который опустился на Петрозаводск на несколько недель. Надеемся на то, что в декабре мы снова сможем видеть над собой ясное звёздное небо.



Comet C/2013 X1 (PANSTARRS) 2015 Nov. 03.85 UT
m1=10.6 Dia.=&1.9"

Nikon D5200 + 55-300 mm lens (246 mm used)
© A. Novichonok & T. Prystavski Total exp.: 6*30 sec 3.3"/px ISO: 2500
Konchezero (Karelia, Russia)
Green zone of light pollution (Bortle sky class = 4.5)

Снимок, сделанный мной с фотоаппаратом Nikon D5200, отлично характеризует визуальный внешний вид кометы C/2013 X1 в любительский телескоп среднего размера



Комета C/2014 S2 (PANSTARRS) при блеске около 9.5^m была самой яркой в ноябре. Снимок сделан 3 ноября с фотоаппаратом Nikon D5200, обработка Т. Приставского

КАЛЕНДАРЬ

Главной хвостатой странницей предстоящего месяца, бесспорно, станет **C/2013 US₁₀ (Catalina)**, которая стала вновь наблюдаться после соединения во второй половине ноября. При блеске около 6^m она будет всё выше подниматься на утреннем небе, наблюдаясь в созвездиях Девы и Волопаса. Комета будет лёгким объектом для бинокулярных наблюдений, визуально можно видеть также её пылевой хвост. Наличие второго хвоста, газового, сделает C/2013 US₁₀ очень благодатным объектом для астрофотографии.

Среди других комет прежде всего стоит отметить **C/2013 X1 (PANSTARRS)** и **C/2014 S2 (PANSTARRS)**, которые имеют блеск около 10^m. Первая из них, C/2014 S2, в декабре проходит перигелий, двигаясь в созвездии Дракона, а вторая видна по вечерам в Андромеде, Рыbach и Пегасе, причём условия видимости медленно ухудшаются. Летом 2016 года C/2013 X1 достигнет яркости около 7^m, но будет иметь плохие условия видимости для наблюдателей России.

Ещё две хвостатых странницы будут иметь яркость на уровне 13^m – **C/2014 W2 (PANSTARRS)** и **67P/Churyumov-Gerasimenko**.



© N. Zeller

Метеоры потока Геминиды и полярное сияние 14 декабря 2014 года



**АРТЁМ
НОВИЧОНОК**
г. Петрозаводск

НЕБО ДЕКАБРЯ

Ясные, морозные зимние вечера могут предоставить нам прекрасную возможность для проведения астрономических наблюдений. Наша планета пройдёт точку зимнего солнцестояния 21 декабря – это самый короткий день в северном полушарии

Видимость планет в декабре

Планета	Вечер	1 пол. ночи	2 пол. ночи	Утро
Меркурий	+	-	-	-
Венера	-	-	-	+
Марс	-	-	+	+
Юпитер	-	-	+	+
Сатурн	-	-	-	+
Уран	+	+	-	-
Нептун	+	+	-	-

Сближения Луны с планетами и яркими звёздами в декабре

Дата (время)	Планета/звезда	Фаза Луны	Рассто- жение
04 (07:21)	Юпитер (-1.8 ^m)	0.42	2°25'
06 (04:13)	Марс (1.5 ^m)	0.25	44'
07 (08:43)	Венера (-4.2 ^m)	0.16	4°54'
29 (23:03)	Регул (1.4 ^m)	0.80	3°21'

Покрытия звёзд (до 5^m) и планет Луной в декабре (Петрозаводск)

Дата	Звезда	Фаза Луны	Начало	Окончание	Высота в начале/ конце
23	θ ¹ Tau (3.8 ^m)	0.96	18:20	19:09	23°/29°
23	θ ² Tau (3.4 ^m)	0.96	18:32	18:58	25°/27°
23	75 Tau (3.4 ^m)	0.96	18:37	19:02	25°/28°
23	SAO 93975 (4.8 ^m)	0.96	19:11	20:13	29°/35°
23	α Tau (0.9^m)	0.96	21:48	22:55	42°/45°
23	111 Tau (5.0 ^m)	0.99	17:03	17:55	9°/15°

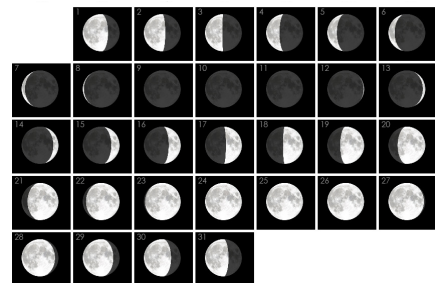
Основные события

- 9. Комета C/2014 S2 (PANSTARRS) в перигелии
- 9. Астероид (16) Психея в противостоянии (9.4^m)
- 14. Максимум метеорного потока Геминиды
- 18. Венера (-4.2^m) в соединении со звездой α Весов (2.8^m, расстояние 1°55')
- 21. Зимнее солнцестояние
- 23. Луна в Гиадах (с покрытием нескольких звёзд скопления)
- 23. Покрытие Альдебарана Луной
- 24. Марс (1.4^m) в соединении со Спикой (1.0^m, расстояние 3°32')
- 24. Астероид (27) Эвертерпа в противостоянии (8.4^m)

рам в виде узкого серпа, поэтому практически не помешает наблюдениям. Радиант потока (точка, из которой как будто появляются все его метеоры) расположен в созвездии Близнецов и будет достигать полезной высоты над горизонтом начиная с позднего вечера.

Примечание. Для всех событий указано московское время UTC+3 (если не отмечено иное).

Фазы Луны в декабре



© К. Гришин

«Астрономия в Карелии»

На правах приложения к

Астрономической газете

№11 (48), ноябрь 2015 г.

Гл. редактор: А. Новичонок
artnovich@inbox.ru

Редколлегия: Н. Скорикова
Н. Орехова, Е. Новичонок

Корректоры: Д. Белова,
С. Плакса, И. Новичонок

Тираж – 100 экз.

По вопросам подписки (бумажной или электронной) обращайтесь по адресу электронной почты, указанному выше.

Наша группа в контакте:
<http://vk.com/asterionclub>

0+